

6. Липницкий Ю. М., Панасенко А. В. О численном моделировании пересечения ударных волн // Изв. АН СССР. МЖГ. 1986. № 5. С. 134—140.
7. Липницкий Ю. М., Панасенко А. В. Исследование взаимодействия ударной волны с острым конусом // Изв. АН СССР. МЖГ. 1980. № 3. С. 98—104.
8. Панасенко А. В. Общий анализ картины дифракции плоской акустической волны на клине, движущемся со сверхзвуковой скоростью // Изв. АН СССР. МЖГ. 1975. № 2. С. 172—175.

Москва  
Днепропетровск

Поступила в редакцию  
25.VIII.1986

УДК 533.6.071.4

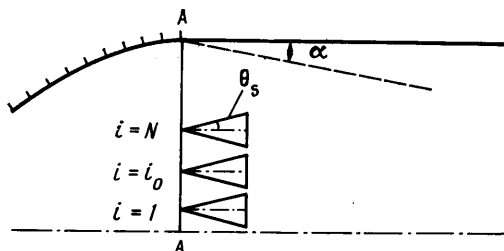
## ОПРЕДЕЛЕНИЕ ВОЗМУЩЕНИЙ ПОЛЕЙ ПОТОКОВ СВЕРХЗВУКОВЫХ АЭРОДИНАМИЧЕСКИХ ТРУБ ПО ИЗМЕРЕННЫМ ЗНАЧЕНИЯМ АЭРОДИНАМИЧЕСКИХ КОЭФФИЦИЕНТОВ

ЕРЕМИН В. В., ЛИПНИЦКИЙ Ю. М., ФИЛИППОВ С. Е.

При определении аэродинамических характеристик моделей важно знать, в каких условиях проводится эксперимент, в частности иметь сведения о профиле скорости набегающего потока и об угле наклона вектора скорости (скос потока). Обычно считают, что испытания модели ведутся в равномерном поле потока рабочей части аэродинамической трубы. Однако из-за технологических погрешностей при изготовлении сопел, неточности учета пограничного слоя и т. д. возникают возмущения, которые делают величину числа Маха  $M$  отличной от расчетной. Игнорирование этого факта может приводить к значительным ошибкам в величинах аэродинамических коэффициентов: при возмущении  $\Delta M/M \sim 0,05$  величины погрешности  $\Delta C_y \sim 10^{-3}$ ,  $\Delta M_z \sim 10^{-3}$  ( $M=6,0$ ) [1]. Проведение прямых измерений величин возмущений профилей газодинамических параметров, особенно величин скоса потока — задача нетривиальная, и имеющиеся методы обладают значительными погрешностями.

Вместе с тем существует целый ряд экспериментальных методов, позволяющих достаточно точно определять интегральные характеристики моделей при их различных положениях в рабочей части аэродинамической трубы.

Ниже предлагается новый подход к определению величин возмущений полей потоков сверхзвуковых аэродинамических труб, в том числе и величин скосов по-



Фиг. 1

тока. Он заключается в решении обратной задачи — восстановлении реальных значений указанных возмущений по измеренным величинам интегральных аэродинамических характеристик модели, перемещающейся в рабочей части аэродинамической трубы.

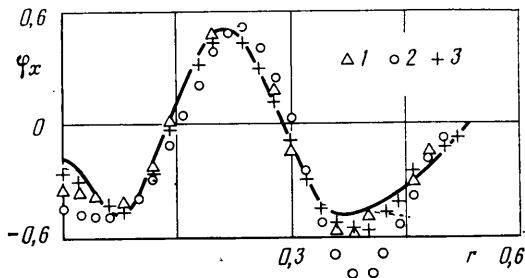
Рассмотрим постановку и решение данной задачи на примере аэродинамической установки с осесимметричным соплом. Выберем цилиндрическую систему координат  $(x, r)$ , связанную с соплом (фиг. 1), и зададим на выходе сопла (сечение А—А) серию контрольных возмущений функции  $\varphi_j(r)$  и  $u_j(r)$ , где  $\varphi(r)$  — потенциал возмущения,  $u(r)$  — возмущение продольной составляющей вектора скорости. Используя расчетный метод определения аэродинамических характеристик тел в слабозвмущенном потоке [1], определим аэродинамические характеристики эталонной модели, например конуса, в заданном неоднородном поле, в частности величины  $C_y$ ,  $M_z$ . Проводя серию расчетов при различных положениях модели в рабочей части установки, в идеальном ядре потока получим матрицу коэффициентов  $\{C_{yij}\}$ , которая определяет величину коэффициента поперечной силы  $C_y$  конуса, носок которого расположен в точке с координатами  $(x_0, r_0)$ , при заданных контрольных возмущениях потенциала и скорости  $\varphi_j$ ,  $u_j$ . Далее в статье будем го-

ворить о матрице величин коэффициентов поперечной силы  $\{C_{yij}\}$ , хотя аналогичные рассуждения можно проводить и для матриц, построенных по величинам коэффициентов поперечного момента  $\{M_{xij}\}$ .

Предположим, что любое возмущение  $f(r)$  есть линейная комбинация контрольных возмущений

$$f(r) = \sum_{j=1}^N a_j Q_j(r) \quad (1)$$

где  $Q_j(r)$  — контрольные возмущения, являющиеся базисными функциями, и соответствующие характеристики конуса в потоке с восстанавливаемым возмущением



Фиг. 2

также являются линейными комбинациями характеристик конуса в потоке с контрольными возмущениями, т. е.

$$C_{yij} = \sum_{j=1}^N a_j C_{yij}, \quad i=1, \dots, N \quad (2)$$

В силу сделанного предположения решение задачи восстановления возмущений сводится к решению системы линейных уравнений с заранее вычисленной матрицей возмущений  $\{C_{yij}\}$  при условии, что определитель этой матрицы  $\|C_{yij}\| \neq 0$ .

Наконец, имея экспериментально измеренные величины коэффициентов  $C_{yij}$  из системы уравнений (2) можно определить вектор  $\{a_j\}$

$$a_j = \sum_{i=1}^N C_{yij}^{-1} C_{yij}, \quad j=1, \dots, N$$

и по формулам (1) построить искомую функцию  $f(r)$ . Следует отметить, что информация о возмущении, полученная с использованием известных величин  $C_{yij}$ , не содержит данных об абсолютной величине возмущения, так как

$$C_{yij}=0, \quad f(r)=\text{const} \quad (3)$$

Для определения абсолютной величины возмущения в систему (2) необходимо включить уравнение

$$C_{xi} = \sum_{j=1}^N a_j C_{xij}, \quad i=i_0$$

где  $i_0$  — произвольное фиксированное значение.

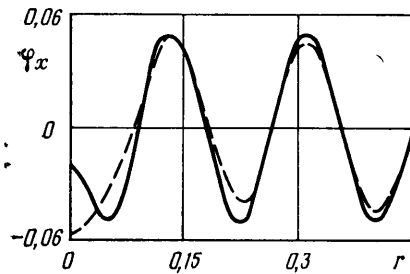
В качестве примера применения изложенного выше метода решения обратной задачи задавалось, а затем восстанавливалось возмущение продольной составляющей вектора скорости  $u(r) = \varphi_x$ , изображенное на фиг. 2 (сплошная линия), с частотой  $\omega \sim 6\lambda$ . Данное возмущение характерно для осесимметричных сопел гиперзвуковых аэродинамических труб. Величина потенциала в начальном сечении полагалась равной нулю  $\varphi(r, x=0) = 0$ . Для основного потока число  $M=6$ . Расчеты проводились для конуса с углом полураствора  $\theta_s = 15^\circ$  и длиной  $l=0,675$ , все линейные размеры отнесены к радиусу сопла в выходном сечении: заданные геометрические параметры совместно с условием попадания модели в характеристический ромб (фиг. 1) ограничивают диапазон перемещения носка конуса по радиальной координате  $0 \leq r_i \leq 0,543$ . Положение носка модели как при получении матрицы  $\{C_{yij}\}$ , так и при расчете  $\{C_{yij}\}$  в (2) задавалось координатами  $(x_0, r_i)$  по следующим схемам: при  $N=7$ ,  $i=2, 4, 6, 8, 10, 11, 12$ ;  $N=9$ ,  $i=2, 4, 6, 7, 8, 9, 10, 11, 12$ ;  $N=12$ ,  $1 \leq i \leq 12$ , где  $r_i = 0,045i$ .

В рассматриваемом случае осесимметричного возмущения в качестве базисных были выбраны функции

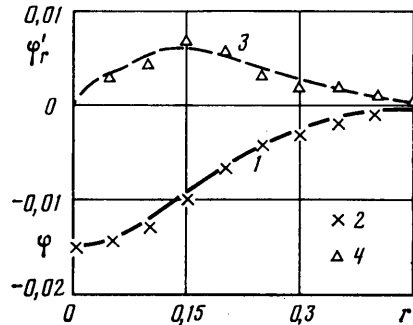
$$Q_j(r) = AJ_0(\mu_j r), \quad 0 \leq r \leq 1$$

где  $J_0$  — функция Бесселя нулевого порядка,  $\mu_j$  —  $j$ -й корень уравнения  $J_1(\mu) = 0$ ,  $J_1$  — функция Бесселя первого порядка. Восстановление данного возмущения проводилось по сериям из  $N$  рассчитанных значений величин коэффициентов  $C_{yj}$ , где  $6 \leq N \leq 12$ . В дополнительном уравнении величина  $C_x$  модели замерялась на  $o_y$ .

Было установлено, что при увеличении числа базисных функций, число которых равно числу контрольных точек, наблюдается сходимость восстанавливаемого возмущения к исходному. Это иллюстрирует фиг. 2, на которой приведены результаты восстановления возмущения при  $N=7, 9, 12$  (1–3 соответственно).



Фиг. 3



Фиг. 4

Уже при  $N \geq 9$  результаты решения обратной задачи хорошо согласуются между собой и с априорно заданным возмущением. Некоторые различия полученного и заданного возмущений в окрестности  $r=0$  объясняются тем, что выбранные в качестве базисных функции Бесселя  $J_0(\mu_j r)$  имеют в этой точке нулевые производные и не точно восстанавливают решения с ненулевой производной.

Удовлетворительный результат восстановления получен и при задании периодического возмущения в виде функции с высокой частотой  $\omega \sim 12\pi$  (фиг. 3, сплошная линия — модельное возмущение, штриховая — восстановленное), но для этого пришлось привлечь результаты расчетов с  $N=12$ . Методические исследования восстановления возмущений в диапазоне частот  $\omega \sim 6\pi - 12\pi$  показали, что увеличение количества точек устанавливает полное соответствие между  $C_{yij}$  и  $Q_j$ , т. е. для любого значения  $r$  в зависимости  $C_{yij} = F(Q_j(r)) + \alpha(N)$  величина  $\alpha(N) \rightarrow 0$  при  $N \rightarrow \infty$ .

Аналогично решалась задача об определении скоса потока, т. е. восстановлении функции  $\varphi_r'(r, x=0)$ . Следует подчеркнуть, что восстановление функции  $\varphi_r'(r)$  накладывает высокие требования к точности определения  $\varphi(r)$ .

В качестве модельного возмущения бралась монотонная функция  $\varphi(r) = Ae^{-20r^2}$ , малая при  $r > 0,543$ ,  $A = -0,015$ , что соответствует наклону вектора скорости  $\sim 1^\circ$ .

Контрольные точки для базисных и модельных возмущений выбирались, как и для первой задачи, с соблюдением равномерного принципа распределения.

При восстановлении по 10 контрольным точкам со схемой расположения  $i=1, 2, \dots, 10$  найденные возмущения соответствуют первоначальному. На фиг. 4 приведены графики функций  $\varphi(r)$  (линия 1 — модельное возмущение, 2 — восстановленное),  $\varphi_r'(r)$  (линия 3 — модельное возмущение, 4 — восстановленное). Видно, что при хорошем соответствии модельной и найденной функции  $\varphi(r)$  наблюдается и удовлетворительное согласование по их производным.

Некоторая немонотонность  $\varphi_r'(r)$  для модельной и восстановленной функций объясняется погрешностью представления функции  $\varphi(r)$  рядом по функциям Бесселя с малым ( $N=12$ ) числом членов.

Методические исследования по определению возмущения скорости и скоса потока показали, что для восстановления неоднородности с периодом колебания менее  $12\pi$  с большой точностью нужно провести  $\sim 10$  контрольных измерений.

Таким образом, в работе предложен метод определения возмущений полей потоков сверхзвуковых аэродинамических труб (числа  $M$  и скоса потока) и обоснована возможность его применения.

#### ЛИТЕРАТУРА

1. Еремин В. В., Липницкий Ю. М., Негометянов Ю. Б. Определение аэродинамических характеристик тел в слабозамушенных потоках газа // Гидродинамика и космические исследования. М.: Наука, 1985. С. 163—170.

Москва

Поступила в редакцию  
13.V.1986